

习 题

1.1 根据汤姆孙的原子模型,已知氢原子的电离能是 13.6 eV.

- (1) 试确定氢原子的半径(请先写出均匀电荷分布球内的电势);
- (2) 若氢原子的辐射波长为 $0.6 \mu\text{m}$, 试估算原子的半径.

1.2 动能 $T = 0.87 \text{ MeV}$ 的质子轰击静止的汞核, 当散射角 $\theta = \frac{\pi}{2}$ 时, 求它们之间的最小距离和瞄准距离.

1.3 一窄束动能为 100 keV 的质子垂直地入射在厚度为 1.0 mg/cm^2 的金箔上, 计数器记录以 60° 角散射的质子. 计数器圆形输入孔的面积为 1.0 cm^2 , 它到金箔散射区的距离保持 10 cm, 输入孔垂直对着射到它上面的质子. 试求射进计数器的质子的百分数(金 Au: $A = 197$, $Z = 79$, $\rho = 1.93 \times 10^4 \text{ kg/m}^3$).

1.4 动能 $T = 1.20 \text{ MeV}$ 的质子和金原子核散射, 散射在从 $\theta = \frac{\pi}{3}$ 到 π 的角间隔内, 试计算与此相应的散射截面.

1.5 一束动能为 1.0 MeV 的强度为 3.6×10^4 个/秒的 α 粒子, 垂直地射在厚度为 $1.0 \mu\text{m}$ 的金箔上. 试求 10 min 内被金原子散射到下列角间隔里的 α 粒子数目.

- (1) $59^\circ \sim 61^\circ$;
- (2) $\theta > \theta_0 = 60^\circ$;
- (3) $\theta < \theta_0 = 10^\circ$.

1.6 对于氢原子、 He^+ 、 Li^{++} , 若认为原子核是不动的, 试计算

- (1) 前两个玻尔轨道的半径及电子在这些轨道上的速度;
- (2) 电子在基态的动能和它的结合能;
- (3) 第一激发电势及共振线(指第一激发态和基态间的跃迁辐射)的波长.

1.7 已知氢原子的电离能为 13.6 eV. 试求 B^{++++} 类氢离子从 $n = 2$ 能级跃迁到 $n = 1$ 的辐射能量.

1.8 已知氢原子的巴耳末系及 He^+ 的毕克林系的线系限为 $2741\ 940 \text{ m}^{-1}$ 和 $2743\ 059$



扫描全能王 创建

m^{-1} ,求质子与电子质量之比.

1.9 能量为 6.0 MeV 的质子束被金箔散射,其中有 1.0×10^{-4} 的入射质子的散射角大于 60° ,求金箔的厚度.

1.10 当氢原子跃迁到激发能为 10.19 eV 的状态时,发射一个波长为 485 nm 的光子,试确定初始能态的结合能.

1.11 某种类氢离子的光谱中,已知属于同一线系的三条谱线的波长分别为 99.2 nm , 108.5 nm 和 121.5 nm . 试问还可以预言哪些光谱线?

1.12 若氢原子被激发到 $n = 10$ 的能级,试问氢可能发射的谱线有多少条?

1.13 气体放电管用能量为 12.2 eV 的电子去轰击氢原子,试确定此时的氢所发射的谱线的波长.

1.14 对于一个正电子和负电子所组成的原子体系(电子偶素),试求出:

- (1) 在基态时粒子之间的距离;
- (2) 电离电势和第一激发电势;
- (3) 里德伯常量和共振线(指第一激发态和基态间的跃迁辐射)的波长.

1.15 若有一个质量为 $207 m_e$,负电荷的 μ 介子和 $Z=1$ 的原子核组成一个原子,试计算:

- (1) 基态时 μ 介子和核之间的距离;
- (2) 当原子核是质子和氘(${}^2\text{H}$)核时,原子基态的能量.

1.16 设氢原子原来是静止的,求当由 $n = 4$ 的态直接跃迁到 $n = 1$ 的态时原子的反冲速度、发射光子的波长,并给出与不考虑反冲时光子的波长的差别.

1.17 氢原子由基态激发到 $n = 4$ 的状态:

- (1) 计算原子吸收的能量;
- (2) 原子回到基态时可能发射光子的波长. 并标明它们属于哪个谱系?

1.18 玻尔认为在量子数很大即电子轨道半径很大时,量子物理计算的结果应和经典物理的规律计算的应该是一致的,称作对应原理. 试将这思想运用在氢原子的情形,计算轨道半径并推出轨道角动量量子化的公式.



习题

- 2.1 氦氖激光器发出波长为 632.8 nm 的红光,求激光束中光子的能量.
- 2.2 钾的功函数为 2.2 eV,用波长 350.0 nm 的紫外光照射钾表面,计算光电子的最大动能值.
- 2.3 (1) 若一个 100 MeV 的光子被一个质子散射,计算在 90°方向散射光子的能量;
(2) 求反冲质子的速度(质子的静止能量为 938.26 MeV).
- 2.4 波长为 0.071 nm 的 X 射线光子被自由电子散射到 135°散射角,求散射光子的能量.
- 2.5 计算下列粒子的德布罗意波长:
(1) 50 eV 的光子;
(2) 动能为 50 eV 的电子;
(3) 动能为 50 eV 的中子(中子的静止能为 940 MeV).
- 2.6 气体分子在室温下的动能为 0.025 eV,请计算室温下氢分子的德布罗意波长,设氢分子的静止能为 1877 MeV.
- 2.7 (1) 显微镜可以分辨的最小线间隔,原则上约等于照射光的波长.一般电子显微镜的电子束能量为 50 keV.计算这种电子显微镜的最高分辨本领.
(2) 计算动能为 12.4 GeV($1 \text{ GeV} = 10^9 \text{ eV}$)电子的德布罗意波长.
- 2.8 同时确定一个 15 eV 的电子的位置和动量,若位置的误差为 0.1 nm,试求动量的不确定量.
- 2.9 下列各粒子限制在线度 L 的一维盒中,请利用海森伯不确定关系式估计它们具有的最小动能:
(1) 电子限制在 $L = 1 \text{ \AA}$ 的盒子中;
(2) 电子限制在 $L = 10 \text{ fm}$ (原子核尺寸)的盒子中, $1 \text{ fm} = 10^{-15} \text{ m}$;
(3) 中子(静止能量为 940 MeV)限制在 $L = 10 \text{ fm}$ 的盒子中;
(4) 质量为 $m = 10^{-6} \text{ g}$ 的粒子限制在 $L = 10^{-6} \text{ m}$ 的盒中.



扫描全能王 创建

2.10 金属中的电子在近表面处所受到的势场可近似为阶跃势场,试估算铜中的自由电子的透入距离(设铜的功函数为 4 eV).

2.11 质量为 m 的粒子在一无限深势阱中运动,它的能量本征函数 $u(x) = \sin kx$, 试计算它的非相对论动能.

2.12 质量为 m 的粒子在一维势场 $V(x) = \frac{1}{2} m\omega^2 x^2$ 中运动.

(1) 写出它的定态薛定谔方程;

(2) 已知它的哈密顿算符的本征函数为

$$u_0(x) = e^{-\left(\frac{m\omega}{2\hbar}\right)x^2}$$

$$u_1(x) = 2\sqrt{\frac{m\omega}{\hbar}} x e^{-\left(\frac{m\omega}{2\hbar}\right)x^2}$$

试计算每个本征函数的能量本征值;

(3) 试由不确定关系, $\Delta x \Delta p \approx \frac{\hbar}{2}$, 证明粒子的最低能量 $\approx \frac{1}{2} \hbar \omega$.

2.13 氢原子的 $2p_{3/2}$ 态的平均寿命是 1.6×10^{-9} s, 试求这个状态能量的不确定量(能级的自然宽度).

2.14 假如电子被束缚在一个宽度为 1 Å 的无限深势阱中, 试计算它处在最低的三个能态的能量.

2.15 分别以波长为 5000 Å 和 0.1 Å 的光照射到某金属上, 求 $\theta = 90^\circ$ 方向上的康普顿散射光的波长.

2.16 粒子相应的约化康普顿波长表示为 $\lambda_c = \frac{\hbar}{mc}$, m 是粒子的静止质量. 电子的经典半径

$r_e = \frac{e^2}{4\pi\epsilon_0 m_e c^2}$, 其中 m_e 是电子的静止质量, e 是电子的电荷.

(1) 计算电子的约化康普顿波长及经典半径和氢原子的玻尔半径之比, 即 $\frac{\lambda_c}{a_0}, \frac{r_e}{a_0}$, 并以 \hbar, c, e 表示;

(2) 已知精细结构常数 $a = \frac{e^2}{4\pi\epsilon_0 \hbar c} \approx \frac{1}{137}$, 请给出 λ_c 和 r_e 的数值. 已知玻尔半径 $a_0 = \frac{4\pi\epsilon_0 \hbar^2}{me^2} \approx 0.53$ Å;

(3) 计算 π 介子的康普顿波长(π 介子的静止质量为 $140 \text{ MeV}/c^2$).

2.17 在大气层上部由于太阳光子的作用氧分子解离为两个氧原子. 光子能引起氧解离的最长波长为 $\lambda = 1.75 \times 10^{-7}$ m. 求氧分子的束缚能.

2.18 人的裸眼能察觉黄光的极限是视网膜接受到的功率为 1.8×10^{-18} W. 黄光的波长约 6000 Å. 求此情况下每秒落在视网膜上的光子数目.

2.19 在室温($\sim 25^\circ\text{C}$)时处于热平衡下的中子称为热中子. 中子的质量为 1.675×10^{-27} kg



($939.5 \text{ MeV}/c^2$), 中子不带电. 求:

- (1) 热中子的动能和其相应的德波罗意波长;
- (2) 当平行热中子束射在晶格间距为 2.82 \AA 的 NaCl 晶体, 反射束发生第一个最大时的入射束的角度.

2.20 设一个电子在离质子很远处是静止的, 在与质子的库仑作用下向质子靠近. 求当电子距质子 1 m 和 0.5 \AA 处时, 它相应的德波罗意波长.



扫描全能王 创建

习 题

- 3.1 试问基态氢原子是否能吸收可见光?
- 3.2 试问氢原子处于 $n=2$ 的能级有多少个不同的状态? 并列出各个状态的量子数.
- 3.3 已知氢原子的状态波函数为

$$u_{nlm} = \frac{1}{81\sqrt{6\pi}a_0^{3/2}} \left(\frac{r}{a_0}\right)^2 e^{-r/3a_0} (3\cos^2\theta - 1)$$

试通过对 u_{nlm} 的主要特征的分析, 确定量子数 n, l, m_l 的值.

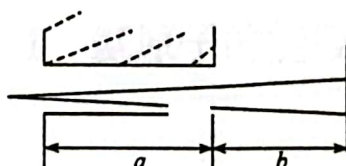
- 3.4 试给出氢原子中电子在基态时的平均电势.

- 3.5 对氢原子中的 2s 和 2p 电子, 试分别计算它们进入 $r < 10^{-13}$ cm(即在原子核内)的概



率(近似计算,给出数量级).

- 3.6 (1)计算氢原子 $l=3$ 量子态的角动量矢量的大小.
- (2)给出在外磁场中(设磁场方向为 z),此原子角动量在磁场方向的分量.
- 3.7 估计跃迁时发射波长为 500 nm 光子的原子激发态的寿命,设电偶极矩振幅 $d \approx 10^{-8}$ cm.
- 3.8 氢原子处于 $n=3$ 的能态,假设由 $n=3 \rightarrow n=2$ 和 $n=3 \rightarrow n=1$ 跃迁的电偶极矩是相同的,试估算发射谱线的相对强度.
- 3.9 试求 $T=3000$ K 时处在主量子数 $n=2$ 状态的氢原子与基态的氢原子的相对数目.
- 3.10 在原子的两个激发态之间跃迁的结果,产生 $\lambda=532$ nm 的光谱线.原子在这两个激发态的平均寿命等于 1.2×10^{-8} s 和 2.0×10^{-8} s,试估计这条谱线的自然宽度 $\Delta\lambda$.
- 3.11 试证明对 Ψ_{200} 和 Ψ_{100} 组成的混合态,它的电偶极矩振幅为零.
- 3.12 氢原子 2p 能级的电偶极辐射的平均寿命是 1.6 ns,试估计一价氦离子的 2p 能级的寿命.
- 3.13 在施特恩-格拉赫的实验里,窄银原子束通过不均匀磁场而射到屏上.已知磁场区长度 $a = 10$ cm,屏和磁场边缘的距离 $b = 20$ cm, $v = 300$ m/s.试问当磁场强度梯度值为多大时,线束在屏上的裂距为 2 mm?



习题 3.13 图

- 3.14 对于 $l=1$ 和 $s=1/2$,计算 $l \cdot s$ 的可能值.
- 3.15 计算氢原子 2p 态时电子轨道运动在原子核处所产生的磁场.
- 3.16 试计算氢原子莱曼线系第一条谱线的精细结构裂距 $\Delta\lambda$.
- 3.17 试确定氢原子的朗德因子值的变化范围.
- 3.18 计算处于 $^2D_{3/2}$ 态原子的朗德因子,及实验可测得的磁矩值.
- 3.19 已知 $s=1/2, j=5/2, g=6/7$,试写出原子态,且以符号表示.
- 3.20 试计算氢原子基态时的磁矩.
- 3.21 试求 ^{208}Pb ($Z=82$) 的 μ 原子 2p 能级的精细结构裂距.(已知 μ 子的质量 $m_\mu = 207 m_e$.)
- 3.22 当 n 和 l 增加时,双重态的裂距迅速减小.试问在氢原子中 2p 双重态的裂距与 3d 双重态的裂距之比值为多大?
- 3.23 考虑氢原子基态和 $n=2$ 的激发态:
 - (1) 不考虑精细结构,画出它们的能级图;
 - (2) 考虑相对论效应后画出新能级且表明其光谱符号(n, l, j);
 - (3) 计算相对论修正引起的能级移动和双层能级的间隔;
 - (4) 考虑兰姆移位后对能级会有哪些影响?
- 3.24 一束自由电子经过一个 $B=5000$ Gs 的均匀磁场,试问自旋“平行”和“反平行”于磁



场 \mathbf{B} 的电子的能量相差多少? 哪种电子的能量较大?

若用与上述能量差相应的光子照射电子,会引起电子的“自旋反转”跃迁.此现象称作“电子自旋共振”.试求能引起共振的光子的波长与频率.

3.25 由于核磁矩的超精细作用使氢原子基态的能级发生劈裂.试给出它的能级图,并表示出它的总角动量量子数 F .

3.26 (1) 以一简单模型来估计氢原子基态时电子运动所产生的磁场:设电子作圆轨道运动,轨道半径为 r ,运动的速率为 v ,试计算它在质子处所产生的磁场 \mathbf{B}_e .

(2) 质子的磁矩和它的自旋方向平行,磁矩数值为 $\mu = 2.8\mu_N$, $\mu_N = \frac{e}{2M_p}\hbar$, M_p 是质子的质量.试证明使质子磁矩反向所需能量为

$$\Delta E = 2.8 \frac{e^2}{4\pi\epsilon_0} \cdot \frac{\hbar v}{M_p c^2 r^2}$$

并估计氢原子基态时,此能量的大小.

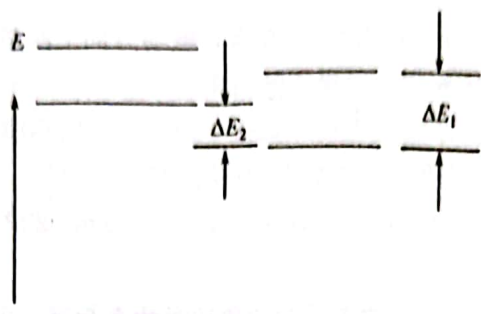
(3) 如果氢原子基态超精细能级发生“自旋反转”跃迁,试估计其谱线的波长.

3.27 假定原子核是一个半径为 R 、电荷均匀分布的球,试求由体积效应引起的能量修正.



习 题

4.1 氢原子基态和 $n=2$ 激发态的能级可用下图表示,请给出:



习题 4.1 图

- (1) 这五个态的原子态符号;
- (2) 解释形成能量差 ΔE_1 和 ΔE_2 物理原因;
- (3) 画出这五个能级间的允许跃迁.

4.2 氢原子中两个电子分别激发到 $2p$ 和 $3d$ 状态. 试求原子总轨道角动量量子数 L 的可能取值和可组成的各原子态.

- 4.3 写出碳原子基态的电子组态,并给出可能组成的原子态.
- 4.4 请分别写出硫原子($Z=16$)和铁原子($Z=26$)的基本电子组态,并根据洪德定则确定基本原子态.
- 4.5 分别以 LS 耦合和 jj 耦合写出 $3p$ 和 $3d$ 电子的合成状态,并证明它们具有相等的状态数.

- 4.6 写出两个等效和非等效 d 电子可以构成的原子状态.
- 4.7 写出下列谱项表示的原子态的量子数,并指出哪些原子态是不存在的:

$$^2S_{3/2}, ^3D_2, ^5P_3, ^5F_0, ^1P_2, ^2D_2$$

- 4.8 试画出从 4D 态到 4P 态的所有可能的跃迁.
- 4.9 试求出电子组态 $1s^2 2s^2 2p^5 3p^1$ 在 LS 耦合情况下所有可能的谱项,并以惯用的光谱符号 $^{2S+1}L_J$ 表示.

4.10 某种原子服从 LS 耦合,它的一个五重态的相邻能级间隔之比为 $1:2:3:4$ (按能量增加的次序),试确定这些能级的量子数 S, L, J .

4.11 一个原子的电子组态 $1s^2 2s^2 p^2$,问这个组态可能组成哪些原子态,并给出这个原子基态原子态.

4.12 碳原子某一激发态为三重结构,三层精细结构能级分别比基态高出 60333 cm^{-1} 、 60353 cm^{-1} 、 60393 cm^{-1} :

- (1) 已知碳原子为 LS 耦合,试确定这些精细结构能级的量子数 L, S, J ;
- (2) 碳的基态也为三重结构,其 J 值分别为 $0, 1, 2$. 试给出这两个态的精细结构能级图,标明相应的光谱符号,画出可能的电偶极跃迁.



4.13 在磁场中钙原子的一条 $\lambda = 422.7 \text{ nm}$ 谱线呈现正常塞曼效应, 求 $B = 3 \text{ T}$ 时, 分裂谱线的频率差和波长差.

4.14 钠原子从 $3^2P_{1/2} \rightarrow 3^2S_{1/2}$ 跃迁的光谱线波长为 589.6 nm , 在 $B = 2.5 \text{ Wb} \cdot \text{m}^{-2}$ 的磁场中发生塞曼分裂, 问从垂直于磁场方向观察, 其分裂为多少条光谱线, 并给出其中波长最长和最短的两条光谱线的波长.

4.15 当镉光源放在 8.6 mT 的磁场中, 在垂直磁场方向上测量光谱时, 镉的红线分裂为三条谱线, 其频率间隔为 120 MHz , 试计算电子的荷质比.

4.16 分析 Cd 原子波长为 6438 \AA 由 $^1D_2 \rightarrow ^1P_1$ 跃迁产生的谱线的塞曼效应, 说明各谱线的偏振状态, 并分别讨论在垂直与平行于磁场方向进行观察的结果.

4.17 如果原子中电子的状态以量子数 n, l, s, j, m 表示, 试求 $n = 3$ 的壳层上最多能容纳多少个电子?

4.18 试证 $l = 1$ 支壳层上有五个电子时的角动量状态与有一个电子时的相同.

4.19 硼原子的电离能是 8.3 eV , 它的 $1s$ 电子的结合能为 259.3 eV . 若用电子轰击硼靶, 问电子至少要有多大的动能才能产生 KX 射线?

4.20 已知某元素的 $K_\alpha X$ 射线能量为 6.375 keV , 问这是什么元素?

4.21 X 射线管的加速电压为 45 kV 时, 求发射谱的最短波长.

4.22 当 X 射线管加速电压由 10 kV 增加到 20 kV 时, 发射谱的 K_α 线与短波限的波长差增加了两倍, 试问阳极是哪种元素组成的?

4.23 测得钨的 X 射线 K 吸收限是 0.1782 \AA , 试求 K 壳层的电子能量 E_K . 如果将钨原子的电子逐个电离, 只剩下一个电子与原子核构成类氢离子, 试求该离子的基态能量 E_1 . 说明为什么 E_1 和 E_K 不相同?

4.24 已知镍的 K_α 线的波长为 1.66 \AA , K_β 线的波长为 1.50 \AA , K 吸收限为 1.49 \AA .

(1) 试确定镍原子的原子序数 Z ;

(2) 用高能电子束轰击镍靶, 若要观察到 L_α 线, 问电子的动能至少为多大? 这时产生的连续 X 射线谱的最短波长为多大?

4.25 由下列数据求:

元 素	K 壳层束缚能/keV	K_α/keV	K_β/keV
Zr	17.996	15.7	17.7
Nb	18.986	16.6	18.6
Mo	20.000	17.4	19.6

(1) Zr、Nb、Mo 的 L 壳层的束缚能;

(2) Zr 的原子序数.

4.26 用钼的 K_α 特征 X 射线, 在氯化钠晶体的天然晶面上“反射”, 当掠射角 $\theta = 7.27^\circ$ 时产生一级衍射极大. 已知晶体的密度为 2165 kg/m^3 , 求晶体的晶格常数和阿伏伽德罗常量.

4.27 用钨的 K_α 线 ($E = 59.1 \text{ keV}$) 照射放在真空中的银. 由银表面飞出的电子的能量有: $55.8 \text{ keV}, 33.7 \text{ keV}, 21.6 \text{ keV}$ 和 18.8 keV . 请分别给出产生这些电子的物理过程. (已知银的 K 吸收限 $E = 25.4 \text{ keV}$, L 吸收限 $E = 3.3 \text{ keV}$, M 吸收限 $E = 0.5 \text{ keV}$.)



4.28 (1) 已知钨的K吸收边是0.0178 nm, K_α线的波长(忽略精细结构)为K_α:0.0210 nm, K_β:0.0184 nm 及 K_γ:0.0179 nm. 请画出钨的能级及给出K、L、M和N壳层的能量.

(2) 试给出激发钨的L线系的最低能量及L线的波长.

4.29 X射线通过铝片,每片铝片为0.4 cm厚. 当X射线通过0、1、2、3、和4片时,用盖革计数器测得的计数分别是: 8×10^3 , 4.7×10^3 , 2.8×10^3 , 1.65×10^3 和 9.7×10^2 计数/每分钟. 试计算铝的线吸收系数.

4.30 (1) 已知下列元素的原子态: 钇(⁴F)、锰(⁶S)和铁(⁵D), 这些原子束在施特恩-格拉赫实验中分裂为4、6、9线. 试计算它们在磁场方向磁矩的最大值.

(2) 一个单态在 $B_0 = 0.5$ T 的外磁场中能级分裂值为 $\tilde{\nu} = 1.4$ cm⁻¹, 写出这个态的谱项.



习 题

5.1 用均匀磁场所质谱仪测量某一单电荷正离子, 离子先在电势差为 1000V 的电场中加速, 然后在 1000Gs 的磁场中偏转, 测得离子轨道半径为 18.2cm. 试求(1)离子速度; (2)离子质量; (3)离子质量数.

5.2 计算下列各原子核的半径: ${}_2^4\text{He}$, ${}_{47}^{107}\text{Ag}$, ${}_{92}^{238}\text{U}$, 设 $r_0 = 1.45\text{ fm}$.

5.3 试计算 ${}^3\text{H}$, ${}^3\text{He}$, ${}^4\text{He}$ 核的比结合能 B/A . 已知它们原子量为 $M({}^3\text{H}) = 3.016\ 050\text{ u}$, $M({}^3\text{He}) = 3.016\ 029\text{ u}$, $M({}^4\text{He}) = 4.002\ 603\text{ u}$, $M({}^1\text{H}) = 1.007\ 825\text{ u}$, $M_n = 1.008\ 665\text{ u}$.

5.4 已知 ${}_{16}^{34}\text{S}$ 的原子量 $M = 33.967\ 865\text{ u}$, 求其质量亏损及比结合能.

5.5 计算动能分别为 0.5 MeV, 2.0 MeV, 10 MeV 和 100 MeV 的电子的德波罗意波长.

5.6 试由 β 稳定线经验公式分别确定 ${}^{57}\text{Ni}$ 和 ${}^{140}\text{Xe}$ 经 β 衰变生成的 β 稳定性核素, 并分别写出它们的 β 衰变链.



扫描全能王 创建

- 5.7 根据壳模型给出 $^{63}_{29}\text{Cu}$, $^{65}_{29}\text{Cu}$ 核基态的自旋和宇称.
- 5.8 试由核壳层模型求 ^7Li 核基态的自旋.
- 5.9 根据核模型给出 ^9Be , ^{14}N , ^{37}Cl 核基态的自旋和宇称.
- 5.10 实验测得 ^{210}Po 的 α 粒子能量为 5.3 MeV, 试求其衰变能.
- 5.11 计算 ^{27}Al 的核半径及对 α 粒子的位垒; 若动能分别为 5.3 MeV 和 8.6 MeV 的 α 粒子射向核, 试给出它们可靠拢的最近距离.
- 5.12 利用核素质量, 计算 $^3\text{H} \rightarrow ^3\text{He}$ 的 β 谱的最大能量.
- 5.13 氚 β 衰变的半衰期为 12.33 年(a), 求 1ml 氚发出的 β^- 粒子的强度.
- 5.14 样品中含 RaE(即核素 $^{210}_{88}\text{Bi}$) 4.0 mg, 它的半衰期为 5.01 天(d), 放出的 β 粒子的平均能量为 0.33 MeV, 试求样品的能量辐射率 W .
- 5.15 (1) 已知 ^{137}Cs 核具有 β^- 放射性, 它放出的两组电子的最大能量为 1.176 MeV 和 0.515 MeV, 同时放出 γ 射线, 能量为 0.661 MeV, 试说明此过程并给出它的衰变图.
 (2) 已知 ^{137}Ba 核外 K 层电子的电离能 $E_K = 37 \text{ keV}$, L 壳层的电离能 $E_L = 6 \text{ keV}$, 试给出内转换电子的能量;
 (3) 实验中探测到能量为 31 keV 的 X 射线, 试说明它的来源.
- 5.16 核反应 $^{16}\text{O} + d \longrightarrow ^{17}\text{O} + p$, 试计算此反应中释放出的能量. 已知 $M(^{16}\text{O}) = 15.994\ 915 \text{ u}$, $M(^{17}\text{O}) = 16.999\ 133 \text{ u}$, $M(^2\text{H}) = 2.014\ 102 \text{ u}$.
- 5.17 天然铀中 ^{238}U 组分的含量为 99.27%, ^{235}U 组分含量为 0.72%. 它们都具有 α 放射性, ^{238}U 的半衰期为 $4.5 \times 10^9 \text{ a}$, ^{235}U 的半衰期为 $7.05 \times 10^8 \text{ a}$. 可以认为在元素形成时, 它们的数量应是相同的, 试由此估算地球的年龄.
- 5.18 活的树木中每克碳的计数是每分钟 (16.1 ± 0.3) 个. 用计数效率为 $(5.40 \pm 0.14)\%$ 的探测器来测量考古样品, 考古的木样品中含碳 8 g 重, 用探测器测到每分钟计数为 (9.5 ± 0.1) 个, 而没有样品时的本底计数是 (5.0 ± 0.1) 个. 已知 ^{14}C 的半衰期为 5730 a, 试估计此样品的年代.
- 5.19 ^{113}Cd 核吸收热中子的截面 $\sigma_a = 21000 \text{ b} (10^{-24} \text{ cm}^2)$, 镉的密度为 8.7 g/cm^3 , 若要使中子束的强度减到 0.01%, 问要用多厚的镉片?
- 5.20 设一大湖容量为 $20\ 500 \text{ km}^3$, 计算水中全部的氘原子可释放的聚变能. 已知氘的丰度为 0.0156%.
- 5.21 实验测得 ^{241}Am 原子光谱的超精细结构由六条谱线组成, 已知相应原子能级的电子总角动量大于核的自旋, 试求 ^{241}Am 核的自旋.
- 5.22 $^{130}_{52}\text{Te}$ 可以经双 β^- 衰变生成 $^{130}_{54}\text{Xe}$, 试计算此两核素的基态的能量差.
- 5.23 已知 ^{238}U 每次衰变放出一个 α 粒子, 实验测得 1mg ^{238}U 每分钟发射 740 个 α 粒子. 试计算 ^{238}U 的半衰期.
- 5.24 入射氘核的能量为 0.150 MeV, 发生 $^3\text{H}(d, n)^4\text{He}$ 反应, 问在 90° 和 0° 方向出射的中子的能量是多大?
- 5.25 $^3\text{H}(p, n)^3\text{He}$ 是常用作中子源的一种反应. 反应的 Q 值为 -0.764 MeV. 试计算(1)阈能; (2)当入射质子动能为 1.120 MeV 时, 在 30° 方向出射中子的能量.



习 题

6.1 试说明由于违反什么守恒律,使下列反应不能发生:

- (1) $n \rightarrow p + e^-$
- (2) $n \rightarrow \pi^+ + e^- + \nu_e$
- (3) $n \rightarrow p + \gamma$
- (4) $n \rightarrow p + \pi^-$

6.2 判断下列各反应中哪些是禁戒的,分别指出这些反应属于哪种相互作用.

- (1) $p \rightarrow \pi^+ + e^- + e^+$;
- (2) $n + p \rightarrow \Lambda^0 + \Sigma^+$;
- (3) $\Sigma^+ \rightarrow p + \gamma$;
- (4) $\Lambda^0 \rightarrow p + \pi^-$;
- (5) $\mu^- \rightarrow e^- + \nu_e + \nu_\mu$.

6.3 用高能质子轰击液氢靶时,求产生 π 介子的阈能.

6.4 已知 K^+ 介子的夸克组成是($u\bar{s}$),试定出 K^- 介子和 Σ^+ (质量为 1 189.4 MeV)超子的奇异数.

6.5 求静止的 π 介子衰变产生的 μ 子和中微子的动能.

6.6 已知带电 π 介子的寿命为 2.6×10^{-8} s,在实验室中测得飞行中的 π 介子的寿命为 75 ns($ns = 10^{-9}$ s),求 π 介子的速度、动能和动量.

6.7 一个高速电子与静止电子碰撞,求产生反电子的阈动能.

6.8 以 π^+ 介子轰击静止质子时,测到有质量为 1 690 MeV 的共振态,求这时入射 π 介子的最低能量.

6.9 由夸克模型写出下列强子的电荷 Q 、同位旋 I 及 I_3 、奇异数 S 、重子数 B 和超荷 Y .

$$\bar{K}(s\bar{d}), \phi(s\bar{s}), \Delta(uuu), \Xi(ssd)$$

6.10 说明正电子素 3S_1 态不可能衰变为两个光子的理由.

6.11 试问下列粒子:光子,中微子,中子和电子.

- (1) 哪些不参与电磁相互作用?
- (2) 哪些不参与强相互作用?



扫描全能王 创建

(3) 哪些不参与弱相互作用?

6.12 在北京正负电子对撞机上的实验中测到质量为 3.1 GeV 的 J/ψ 粒子



求这一反应的阈能. 如果以 e^+ 撞击静止的 e^- , 则产生 J/ψ 的阈能为多大?

6.13 J/ψ 粒子是由粲夸克和反粲夸克组成的, 已知它的 J^{PC} 为 1^{--} , 请给出这个粲夸克素的轨道角动量、自旋角动量、同位旋量子数.

6.14 已知 Ξ^- 的 $Q = -1, B = 1, S = -2$. 请写出它的夸克组成, 它的同位旋多重态中其他粒子的组成、 Q, B 和 S .

6.15 ρ^- 介子是由 π^- 和 p 散射得到的介子共振态, 其反应为: $\pi^- + p \rightarrow \rho^- + p$, 试由守恒关系给出 ρ^- 介子的同位旋、同位旋第三分量、奇异数和重子数.

6.16 实验测得 ρ 的质量宽度为 150 MeV, 求它的平均寿命.

6.17 指出并说明下列哪些反应或衰变是守恒定律允许的.

$$(1) p \rightarrow \pi^+ + \pi^0;$$

$$(2) \pi^- + p \rightarrow K^+ + \Sigma^-;$$

$$(3) \pi^- \rightarrow e^- + \gamma;$$

$$(4) p \rightarrow \Sigma^+ + \pi^0;$$

$$(5) p + p \rightarrow n + p + \pi^+ + \pi^- + \pi^0.$$

6.18 衰变过程 $\Lambda \rightarrow p + \pi^-$ 是一个弱作用过程, 请给出判断的理由.

6.19 试判断下列衰变过程哪些是可能发生的, 哪些是不可能发生的, 并加以说明.

$$(1) \pi^+ \rightarrow \mu^+ + \nu_\mu;$$

$$(2) \pi^- \rightarrow \pi^+ + e^- + \bar{\nu}_e;$$

$$(3) \pi^0 \rightarrow e^- + p;$$

$$(4) p \rightarrow n + e^+ + \nu_e;$$

$$(5) n \rightarrow p + e^- + \bar{\nu}_e.$$

6.20 根据夸克模型, 认为强子中含有的夸克或反夸克总数为多少?

6.21 指出下列过程中哪些是中微子, 哪些是反中微子, 并写出是属于哪种类型的.

$$(1) \Lambda^0 \rightarrow p + \mu^- + \nu; (2) \Sigma^+ \rightarrow \mu^+ + \nu + n; (3) \tau^+ \rightarrow e^+ + \nu + \nu;$$

$$(4) \mu^- \rightarrow e^- + \nu + \nu; (5) K^+ \rightarrow \mu^+ + \nu.$$

6.22 假设某种玻色子的下列量子数都不为 0, 试问这种玻色子和它的反粒子的哪一个量子数是相同的?

- (1) 奇异数; (2) 粲数; (3) 内禀宇称; (4) 磁矩; (5) 电荷.



习 题

7.1 钾的电离能为 4.34 eV, 氯的电子亲和势为 3.62 eV. 氯化钾分子的平衡距离为 0.279 nm. 由这些数据估算 KCl 分子分解为 K 原子和 Cl 原子所需的能量.

7.2 对 $H^{35}Cl$ 分子, 核间距离为 $R_e = 0.127\ 46\ nm$, 计算这个分子的

(1) 转动谱常数 B , 分别以 cm^{-1} 及 MHz 为单位表示;

(2) $J=0, 1, 2, 3, 4, 5$ 的转动能级的能量;

(3) 在 300 K 时这 5 个态的相对布居.

7.3 对 HF, $H^{35}Cl$, HBr 和 HI 分子的振动能级的间隔分别为 $3958.4\ \text{cm}^{-1}$, $2885.6\ \text{cm}^{-1}$, $2559.3\ \text{cm}^{-1}$, $2230.0\ \text{cm}^{-1}$. 计算这些分子的键力常数.

7.4 $^{127}I^{35}Cl$ 的谱常数为 $\bar{\nu}_e = 384.18\ \text{cm}^{-1}$, $x_e \bar{\nu}_e = 1.465\ \text{cm}^{-1}$. 该分子的解离能是 2.153 eV, 计算

(1) 在 $v=0$ 和 1 之间跃迁的谱线的波数;

(2) 在 $v=1$ 和 2 之间跃迁的谱线的波数;

(3) 分子位势曲线的深度.

7.5 已知 HCl 的势阱深度为 5.33 eV, $\bar{\nu}_e = 2989.7\ \text{cm}^{-1}$, $x_e \bar{\nu}_e = 52.05\ \text{cm}^{-1}$. 试估计

(1) HCl 的解离能;

(2) DCl 的解离能 ($m_D = 2.014\ \text{u}$).

7.6 一个双原子分子的 $J=5$ 到 $J=6$ 的吸收线的波长为 1.35 cm. 请计算

(1) $J=0$ 到 $J=1$ 的转动吸收线的波长和频率.

(2) 计算分子的转动惯量.

7.7 HI 分子的振动能级 $v=0$ 到 $v=1$ 的跃迁, 相应的频率是 $6.69 \times 10^{13}\ \text{Hz}$. NO 分子相应能级跃迁频率为 $5.63 \times 10^{13}\ \text{Hz}$. 试计算两种分子的键力常数和振动幅度.

7.8 HF 分子的转动常数 $B = 20.95\ \text{cm}^{-1}$, 计算

(1) HF 分子的核间距.

(2) 分别给出氢的两种同位素的氟化物 (2DF , 3TF) 分子转动谱线的间隔.

7.9 氢分子的解离能是 4.5 eV, 假定分子就像简谐振子一样振动, 振动频率为 $8.277 \times 10^{14}\ \text{rad/s}$. 求相应于解离能 4.5 eV 的振动量子数.

7.10 $^{35}Cl_2$ 的振动拉曼谱, 有一组斯托克斯线, 它们的间距为 $0.9752\ \text{cm}^{-1}$, 它的反斯托克斯线的间距也是这值. 求 Cl_2 的键的长度.

7.11 入射光的波数为 $20\ 487\ \text{cm}^{-1}$, 求 $^{14}N_2$ 的 $J=2$ 到 0 的散射斯托克斯线的波数. N_2 的平衡核间距离是 $109.76\ \text{pm}$.

7.12 氧分子 O_2 的键长为 $120.75\ \text{pm}$, 拉曼谱仪用的入射光波数 $20\ 623\ \text{cm}^{-1}$. 求在瑞利谱线附近的 2 条斯托克斯线和 2 条反斯托克斯线的波数.

7.13 Morse 势

$$U(R) = U_0 [1 - e^{-\beta(R-R_0)}]^2$$

可以用来描述双原子分子的振动运动, 其中 U_0 , β 和 R_0 可根据实验数据来取得. 试证明:



扫描全能王 创建

- (1) R_0 就是核间的平衡距离, 而 U_0 是两个原子相距很远时的位势;
- (2) 在 R_0 附近, Morse 势可近似为简谐势, 力常数 $k = m\omega^2 = 2U_0\beta^2$;
- (3) 已知氢分子的 $R_0 = 0.074 \text{ nm}$, 解离能为 4.52 eV , 力常数 $k = 573 \text{ N/m}$, 求相应的 Morse 势的参数.

7.14 试问 ${}^2\text{D}_2$ 分子的拉曼散射谱的 O 支中两相邻谱线的强度比, 说明强度大的谱线所对应的转动量子数的奇偶性.

